

## 6

### Ambigüidade na determinação da posição em sistemas hiperbólicos

#### 6.1

##### Introdução

Foi visto na Seção 1.3.5 que em sistemas hiperbólicos de localização a posição do terminal é estimada a partir de um conjunto de medidas de TDoA, obtidas na interface rádio entre o terminal e um mínimo de três bases com posições conhecidas. Dado um valor de TDoA, o lugar geométrico do terminal é uma hipérbole definida matematicamente pela equação (1-8), com focos dados pelas posições das bases utilizadas na obtenção da medida.

Em princípio a posição do móvel pode ser estimada com apenas 3 bases disponíveis. No entanto, nesta situação, duas soluções *possíveis* podem resultar do sistema de equações. Da geometria do problema, isto equivale à condição na qual os ramos das hipérbolas interceptam-se em dois pontos distintos, como mostra a Figura 6.1. Neste caso, não é possível distinguir qual a solução correta, a menos que haja alguma informação adicional, derivada a partir de um outro conjunto de medidas (medida de potência, AoA etc). Todavia, esta solução demanda uma carga extra de sinalização e processamento do sistema de comunicações.

Se houver mais de três bases em contato com o móvel, a ambigüidade é resolvida. No entanto, em áreas típicas de cobertura celular, são freqüentes as situações nas quais apenas três bases conseguem estabelecer enlaces simultâneos com o terminal. De acordo com Silventoinen et al. [18], medidas realizadas em ambiente urbano para uma rede GSM mostraram que durante aproximadamente 30 % do tempo a estimativa da posição teve de ser realizada com apenas 3 bases. Em ambiente rural, a proporção foi elevada para 60 % do tempo. Para um sistema CDMA, medidas obtidas pela Korea Telecom indicaram também que em grande parte do tempo somente três bases estão disponíveis para uma estimativa confiável de posição [12].

Diante deste cenário, conclui-se que a ambigüidade de soluções para a

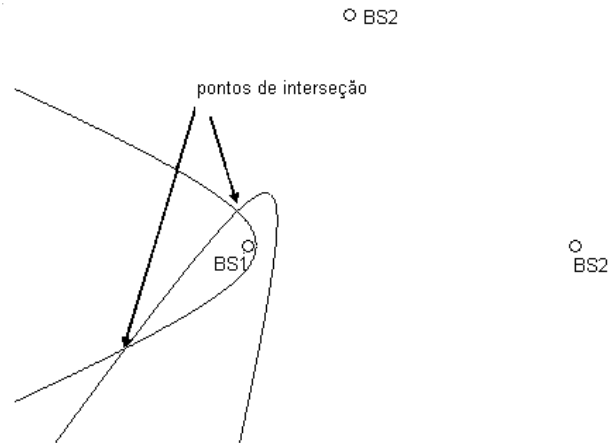


Figura 6.1: Ramos de hipérbolas com 2 pontos de intersecção, resultando em soluções ambíguas para a estimativa de posição.

posição do móvel pode representar uma limitação dos sistemas hiperbólicos de localização. Neste capítulo é feito um desenvolvimento matemático para identificar as regiões do plano onde as soluções produzidas a partir de medidas de TDoA são ambíguas. Estas regiões são aqui denominadas de *regiões de ambigüidade*. Além disso, é feita uma comparação entre a dimensão destas regiões com a área útil para triangulação (área em que o móvel tem contato com as três bases). Os resultados obtidos a seguir podem ser úteis para o planejamento de um sistema hiperbólico de localização, pois indicam a melhor posição relativa entre bases para que a probabilidade de se obter soluções ambíguas seja minimizada.

## 6.2 Determinação da Região de Ambigüidade

### 6.2.1 Definições iniciais

Sejam BS1, BS2 e BS3 as estações radio-base disponíveis para a determinação da posição do terminal (MS). A base BS1 é considerada a referência do sistema de localização<sup>1</sup> e está localizada no centro do sistema de coordenadas. Por sua vez, as bases BS2 e BS3 estão localizadas nos pontos **P** e **W** de coordenadas  $(D_{12}, 0)$  e  $(W_x, W_y)$ , respectivamente, e o terminal MS encontra-se no ponto **Z** de coordenada  $(x, y)$ . As grandezas  $D_{13}$  e  $D_{23}$

<sup>1</sup>O tempo de chegada do sinal (ToA) entre terminal e BS1 é usado para a obtenção das duas medidas de TDoA.

representam as distâncias que separam BS3 das bases BS1 e BS2. A Figura 6.2 mostra a configuração considerada para o problema.

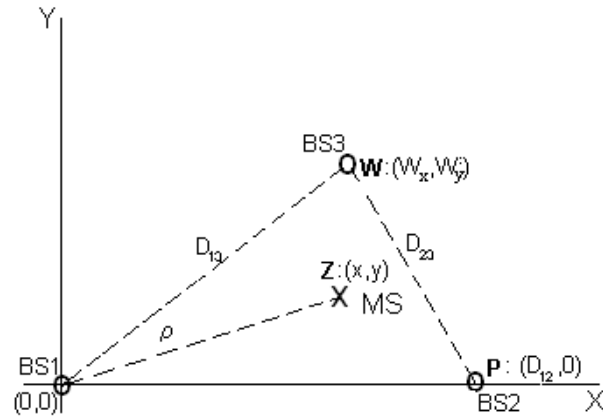


Figura 6.2: Configuração considerada para o cálculo da região de ambigüidade.

Definindo-se  $\alpha$  e  $\beta$  como as diferenças de distâncias (TDoA  $\times c$ ) entre MS e as bases, as equações correspondentes para as hipérbolas que representam o lugar geométrico de MS são dadas por:

$$\|\mathbf{Z}\| - \|\mathbf{Z} - \mathbf{P}\| = \alpha \quad (6-1)$$

$$\|\mathbf{Z}\| - \|\mathbf{Z} - \mathbf{W}\| = \beta \quad (6-2)$$

Reescrevendo as equações (6-1) e (6-2) em termos das coordenadas de MS e rearrumando-se os termos resulta em

$$(x - D_{12})^2 + y^2 = (\rho - \alpha)^2 \quad (6-3)$$

$$(x - W_x)^2 + (y - W_y)^2 = (\rho - \beta)^2 \quad (6-4)$$

onde

$$\rho = x^2 + y^2 \quad (6-5)$$

é a distância de MS até a origem (BS1). A seguir a análise será feita em termos das variáveis  $\alpha$  e  $\beta$ , obtendo-se como resultado a identificação da região no plano  $\alpha\beta$  na qual as soluções obtidas para a posição de MS são ambíguas. Uma vez identificada esta região, a região correspondente no plano  $XY$  é determinada através de uma transformação matemática entre os dois domínios.

**6.2.2**  
**Região possível no plano  $\alpha\beta$**

Como  $D_{12}$  e  $D_{13}$  representam, respectivamente, as distâncias entre os focos das duas hipérbolas formadas pelas diferenças  $\alpha$  e  $\beta$ , pode-se escrever que

$$\begin{aligned} -D_{12} &\leq \alpha \leq D_{12} \\ -D_{13} &\leq \beta \leq D_{13} \end{aligned} \tag{6-6}$$

Além disso, dados  $\alpha$  e  $\beta$ , a diferença de distâncias entre MS e as bases BS2 e BS3 é  $\beta - \alpha$ . Portanto, seguindo raciocínio análogo tem-se que

$$-D_{23} \leq \beta - \alpha \leq D_{23} \tag{6-7}$$

As desigualdades de (6-6) e (6-7) determinam os valores possíveis para  $\alpha$  e  $\beta$ . Em um plano  $\alpha\beta$ , a região correspondente é o interior do polígono  $\Omega$  mostrado na Figura 6.3.

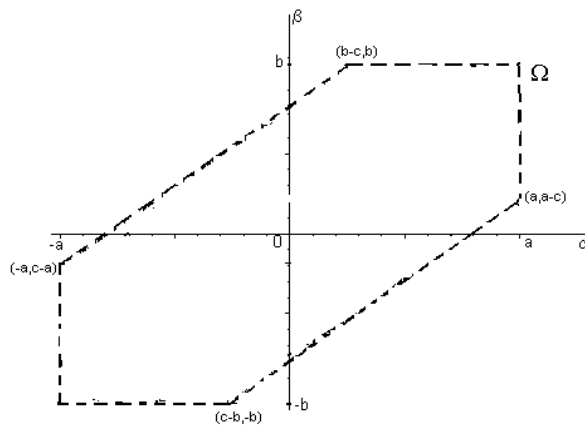


Figura 6.3: Polígono  $\Omega$  que define os valores possíveis para  $\alpha$  e  $\beta$ .

**6.2.3**  
**Região de Ambigüidade no plano  $\alpha\beta$**

Substituindo (6-5) em (6-3) e isolando  $x$  resulta, após algumas manipulações simples, a seguinte expressão para a coordenada horizontal de MS

$$x = A\rho + B \tag{6-8}$$

onde os coeficientes  $A$  e  $B$  são dados por

$$A = \frac{\alpha}{D_{12}} \quad (6-9)$$

$$B = \frac{D_{12}^2 - \alpha^2}{2D_{12}} . \quad (6-10)$$

De forma análoga, substituindo-se (6-5) em (6-4) e resolvendo para a coordenada  $y$  tem-se

$$y = C\rho + D , \quad (6-11)$$

onde

$$C = \frac{\beta - W_x A}{W_y} \quad (6-12)$$

$$D = \frac{D_{13}^2 - \beta^2 - 2W_x B}{2W_y} . \quad (6-13)$$

Elevando-se ao quadrado as equações (6-8) e (6-11) e somando-as resulta a seguinte equação do segundo grau para  $\rho$ :

$$(A^2 + C^2 - 1)\rho^2 + 2(AB + CD)\rho + (B^2 + D^2) = 0 . \quad (6-14)$$

Se  $A^2 + C^2 = 1$  e  $AB + CD \neq 0$ , então (6-14) tem solução única dada por

$$\rho = -\frac{B^2 + D^2}{2(AB + CD)} . \quad (6-15)$$

Por outro lado, se  $A^2 + C^2 \neq 1$ , então as duas raízes da eq. (6-14) são dadas por

$$\rho = \frac{-(AB + CD) \pm \sqrt{(AB + CD)^2 - (A^2 + C^2 - 1)(B^2 + D^2)}}{A^2 + C^2 - 1} . \quad (6-16)$$

O discriminante de (6-16) é dado por

$$\begin{aligned} \Delta &= (AB + CD)^2 - (A^2 + C^2 - 1)(B^2 + D^2) \\ &= (B^2 + D^2) - (AD - BC)^2 , \end{aligned} \quad (6-17)$$

sendo possível mostrar que  $\Delta$  pode ser fatorado da forma abaixo

$$\Delta = \frac{1}{4(W_y D_{12})^2} (D_{12}^2 - \alpha^2)(D_{13}^2 - \beta^2)(D_{23}^2 - (\beta - \alpha)^2) . \quad (6-18)$$

De (6-6) e (6-7) em (6-18) conclui-se que  $\Delta \geq 0$ . A igualdade ocorre quando pelo menos um dos TDoA's medidos é igual, em valor absoluto, à

distância entre as bases das quais foi calculado seu valor. É fácil verificar que isto acontece somente quando MS é colinear com duas bases. No entanto, nesta situação particular, a triangulação não é possível [78] e portanto não será considerado na análise. Desta forma, admite-se a seguir que  $\Delta > 0$ .

Definindo-se agora as seguintes quantidades

$$Q = AB + CD \quad \text{e} \quad R = A^2 + C^2 - 1 \quad , \quad (6-19)$$

é possível fazer as seguintes observações baseadas na tricotomia de  $R$ :

i)  $R < 0$

Neste caso as raízes da eq. (6-14) são reais e têm sinais opostos. Portanto  $\rho$  é determinado unicamente pela raiz positiva.

ii)  $R = 0$

A solução é dada por (6-15). Se  $Q < 0$ ,  $\rho$  é único e possível (raiz positiva). Caso contrário,  $\rho$  é único e impossível (raiz negativa).

iii)  $R > 0$

As raízes da eq. (6-14) apresentam sinais opostos a  $Q$ . Para  $Q > 0$ ,  $\rho$  não é possível. Para  $Q < 0$ , a eq. (6-14) têm duas raízes positivas e portanto, neste caso,  $\rho$  pode assumir dois valores distintos.

De acordo com as observações acima, pode-se concluir que a determinação da posição do móvel será ambígua se, e somente se, o par  $(\alpha, \beta)$  medido resultar em  $R > 0$  e  $Q < 0$ .

A equação  $R = 0$  em termos das variáveis  $\alpha$  e  $\beta$  define uma elipse cuja equação é dada por

$$\frac{\alpha^2}{D_{12}^2} + \frac{\beta^2}{D_{13}^2} - 2\frac{\alpha\beta W_x}{D_{12}D_{13}^2} = \frac{W_y^2}{D_{13}^2} \quad , \quad (6-20)$$

que tem centro na origem e está inscrita no polígono  $\Omega$ , como mostrado na Figura 6.4. Os pontos tangentes **P1** a **P6** têm coordenadas **P1** =  $-\mathbf{P4} = (D_{12}W_x/D_{13}, D_{13})$ , **P2** =  $-\mathbf{P5} = (D_{12}, W_x)$  e **P3** =  $-\mathbf{P6} = ((D_{12}^2 - D_{12}W_x)/D_{23}, (D_{12}W_x - D_{13}^2)/D_{23})$ .

O termo  $Q$ , por sua vez, é dado pela seguinte expressão

$$Q = -\frac{1}{2aW_y^2} \left[ D_{12}\beta^3 - W_x\alpha\beta^2 + (W_x(D_{12}^2 - \alpha^2) - D_{12}D_{13}^2)\beta + \frac{\alpha D_{13}^2}{D_{12}}(\alpha^2 - D_{12}^2 + W_x a \alpha) \right] \quad . \quad (6-21)$$

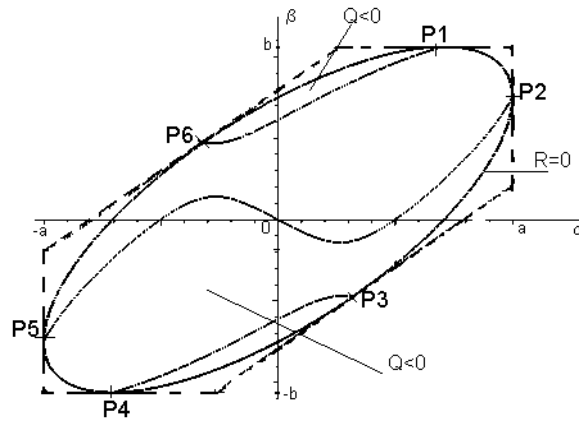


Figura 6.4: Curvas no interior do polígono  $\Omega$  que definem  $R = 0$  e  $Q = 0$ .

Verifica-se que a condição  $Q = 0$  ocorre para cada um dos pontos **P1 – P6**. Na realidade,  $Q = 0$  define as três curvas apresentadas na Figura 6.4, que por sua vez determinam as regiões no interior do polígono  $\Omega$  onde  $Q$  assume valores positivos ou negativos. Particularmente, pode ser verificado que  $Q$  assume valores negativos nas regiões assinaladas na figura.

Finalmente, de acordo com a análise desenvolvida, é possível determinar o conjunto de valores de  $\alpha$  e  $\beta$  para os quais a solução por triangulação hiperbólica é ambígua. As regiões em que  $R > 0$  e  $Q < 0$  são delimitadas externamente pelo polígono  $\Omega$  e internamente pelos arcos de elipse entre os pontos **P1 – P6**, **P2 – P3** e **P4 – P5**, como mostrado na Figura 6.5. Portanto, conclui-se que se o par de diferenças de distância  $(\alpha, \beta)$  pertencer a uma das três regiões mostradas na Figura 6.5, haverá duplicidade de soluções na estimativa de posição por triangulação hiperbólica.

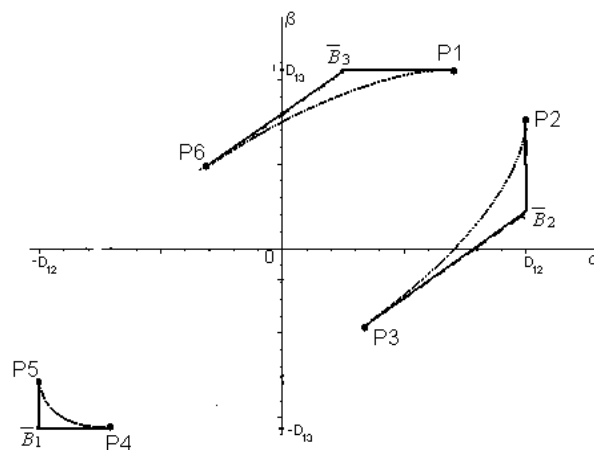


Figura 6.5: Regiões no plano  $\alpha\beta$  onde  $R > 0$  e  $Q < 0$ .

### 6.2.4

#### Região de Ambigüidade no plano $XY$

A região de ambigüidade em termos das coordenadas  $(X, Y)$  pode ser finalmente determinada calculando-se a transformação  $T : (\alpha, \beta) \rightarrow (X, Y)$  das regiões mostradas na Figura 6.5. Para este fim, mostra-se conveniente escrever a elipse definida na equação (6-20) em coordenadas polares:

$$r = \frac{|W_y|}{\left[ \left( \frac{1+D_{13}^2}{2} \right) - \left( \frac{1-D_{13}^2}{2} \right) \cos 2\theta - W_x \sin 2\theta \right]^{1/2}}, \quad (6-22)$$

onde

$$\alpha = D_{12}r \cos \theta \quad \text{e} \quad \beta = r \sin \theta. \quad (6-23)$$

Com base na expressão (6-22), é trivial obter os valores de  $(r, \theta)$  correspondentes aos arcos de elipse mostrados na Figura 6.5. Uma vez obtidos, utiliza-se a seqüência de equações (6-23), (6-9), (6-12), (6-8) e (6-11), nesta ordem, para determinar as fronteiras das regiões de ambigüidade no plano  $XY$ . A Figura 6.6 apresenta o resultado obtido para as regiões da Figura 6.5. Observa-se que a região de ambigüidade em  $XY$  é na realidade composta por três regiões disjuntas, que envolvem as bases e se estendem para o infinito.

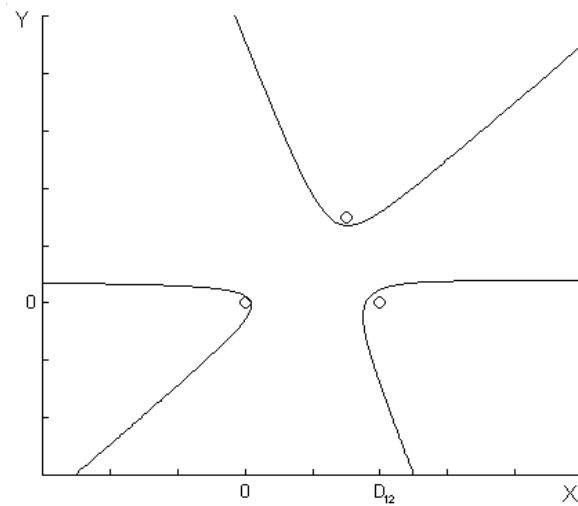


Figura 6.6: Regiões de ambigüidade no plano  $XY$ .

Convém ainda identificar alguns pontos importantes no mapeamento realizado entre os dois domínios. Os pontos  $\bar{\mathbf{B}}_1$ ,  $\bar{\mathbf{B}}_2$  e  $\bar{\mathbf{B}}_3$  na Figura 6.5, de coordenadas  $(-D_{12}, -D_{13})$ ,  $(D_{12}, D_{12} - D_{23})$  e  $(D_{13} - D_{23}, D_{13})$  respectivamente, são levados a BS1 (origem), BS2 ( $\mathbf{P}$ ) e BS3 ( $\mathbf{W}$ ). Os seis segmentos de reta que ligam os pontos  $\bar{\mathbf{B}}_1$ ,  $\bar{\mathbf{B}}_2$  e  $\bar{\mathbf{B}}_3$  aos pontos  $\mathbf{P1}$  a  $\mathbf{P6}$ ,



correspondem, no plano  $XY$ , aos prolongamentos dos lados do triângulo formado pelas 3 bases. Finalmente, verifica-se que os pontos **P1** a **P6** são levados ao infinito pela transformação entre os dois domínios.

### 6.2.5

#### Distância entre soluções ambíguas

Quando (6-14) tem duas raízes reais positivas,  $\rho_1$  e  $\rho_2$ , a coordenada correspondente do terminal no plano  $XY$  é dada por

$$\begin{aligned}x_1 &= A\rho_1 + B \\y_1 &= C\rho_1 + D\end{aligned}\quad (6-24)$$

ou

$$\begin{aligned}x_2 &= A\rho_2 + B \\y_2 &= C\rho_2 + D.\end{aligned}\quad (6-25)$$

De (6-24) e (6-25) pode-se escrever

$$(x_1 - x_2)^2 + (y_1 - y_2)^2 = (A^2 + C^2)(\rho_1 - \rho_2)^2 \quad (6-26)$$

ou seja,

$$d = \sqrt{A^2 + C^2} |\Delta\rho|, \quad (6-27)$$

onde  $d$  representa a distância entre as duas soluções e  $\Delta\rho = \rho_1 - \rho_2$ . No entanto,

$$\rho_1 = \frac{-Q + \sqrt{\Delta}}{R} \quad \text{e} \quad \rho_2 = \frac{-Q - \sqrt{\Delta}}{R}; \quad (6-28)$$

o que resulta em

$$\begin{aligned}|\Delta\rho| &= \frac{2\sqrt{\Delta}}{|R|} \\ &= \frac{2\sqrt{\Delta}}{R} \quad (\text{duas soluções possíveis} \Leftrightarrow R > 0)\end{aligned}\quad (6-29)$$

Portanto, tem-se finalmente

$$d = \frac{2\sqrt{(B^2 + D^2 - (AD - BC)^2)(A^2 + C^2)}}{A^2 + C^2 - 1}. \quad (6-30)$$

### 6.3

#### Cálculo da área da região de ambigüidade

Calcula-se a seguir a extensão da região de ambigüidade comparada à área da *região de triangulação*. A região de triangulação é aqui definida como sendo a região na qual o terminal consegue receber simultaneamente o sinal de três bases, com nível de potência suficiente para realizar o processamento necessário à estimativa de sua posição. Os resultados são obtidos para diferentes posições relativas entre as bases no plano  $XY$ .

Cabe ressaltar que os mecanismos de propagação em um ambiente de comunicações móveis são modelados de forma probabilística, e portanto, para a definição da região de triangulação, admite-se que a condição descrita acima ocorre com uma dada probabilidade.

#### 6.3.1

##### Determinação da região de triangulação

Inicialmente faz-se necessária a determinação da área de cobertura celular, utilizando-se para esta finalidade o *critério de área*, amplamente considerado na literatura [10][79][80]. Nesta abordagem, o raio da célula ( $R$ ) é calculado com base na proporção da área de uma célula circular, na qual a potência recebida está acima de um dado limiar. Considerando  $\mu$  a proporção de uma área  $S$  em que ocorre tal condição, pode-se mostrar que

$$\mu = \frac{1}{S} \iint_S \Pr(\omega_r \geq \omega_T) dS \quad (6-31)$$

onde  $\omega_T$  é o valor considerado para o limiar, e  $\omega_r$  é a potência do sinal recebido a uma distância  $r$  da base. Dada em decibéis, admite-se que  $\omega_r$  tem distribuição gaussiana de média  $m_\omega$  e desvio padrão  $\sigma_\omega$ . Portanto, chamando de  $\beta$  o integrando de (6-31), pode-se escrever que

$$\beta = \frac{1}{2} - \frac{1}{2} \operatorname{erf} \left( \frac{\omega_T - m_\omega}{\sqrt{2}\sigma_\omega} \right) \quad (6-32)$$

onde  $\operatorname{erf}(\cdot)$  denota a função erro<sup>2</sup>. Em outras palavras, admite-se que a variação de potência em torno de seu valor médio é descrita por uma distribuição log-normal (desvanecimento de longa-escala). Considerando ainda o modelo usual em que a potência média (em dB) varia logicamente com a distância, com coeficiente negativo dado por  $-\alpha$  (coeficiente de perda de

<sup>2</sup> $\operatorname{erf}(x) = \frac{2}{\sqrt{\pi}} \int_x^\infty \exp(-z^2) dz$

propagação), chega-se a

$$\beta = \frac{1}{2} - \frac{1}{2} \operatorname{erf} \left[ \frac{\omega_T - \bar{\omega}_R + 10\alpha \log(r/R)}{\sqrt{2}\sigma_\omega} \right] \quad (6-33)$$

onde  $\bar{\omega}_R$  representa a potência média do sinal a uma distância  $R$  da base.

Considerando  $R$  o raio da célula, pode-se reescrever a equação (6-31) da forma

$$\mu = \frac{1}{\pi R^2} \int_0^{2\pi} \int_0^R \beta(r) r dr d\theta \quad (6-34)$$

Substituindo (6-33) em (6-34) e após algumas manipulações, chega-se finalmente à seguinte expressão

$$\mu = \frac{1}{2} \left\{ 1 + \operatorname{erf}(a) + \exp\left(\frac{2ab+1}{b^2}\right) \left[ 1 - \operatorname{erf}\left(\frac{ab+1}{b}\right) \right] \right\} \quad (6-35)$$

onde  $a = (\bar{\omega}_R - \omega_T)/\sqrt{2}\sigma_\omega$  e  $b = 10\alpha \log(e)/\sqrt{2}\sigma_\omega$ .

Admite-se a seguir que  $\sigma_\omega = 12$  dB e  $\alpha = 3$  (30 dB por década). Estes valores são típicos de um ambiente de propagação urbano [10]. A diferença entre a potência média na borda da célula e o limiar,  $\bar{\omega}_R - \omega_T$ , é determinada considerando que a razão entre a área de serviço útil e a área da célula deve ser de 95%<sup>3</sup>. Portanto, com base na Figura 6.7, que apresenta o gráfico de  $\mu$  (com valores de  $\sigma_\omega$  e  $\alpha$  definidos acima), observa-se que  $\bar{\omega}_R - \omega_T \approx 15$  dB é o valor necessário da margem de potência para que se atinja  $\mu = 95\%$ .

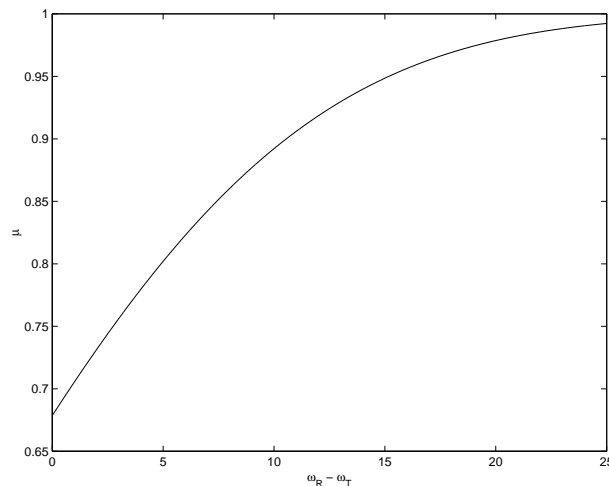


Figura 6.7: Gráfico de  $\mu$  em função de  $\bar{\omega}_R - \omega_T$ , para  $\alpha = 3$  e  $\sigma_\omega = 12$  dB.

Uma vez desenvolvida a análise acima, é possível determinar finalmente a região de triangulação ( $\Phi$ ). Considera-se aqui que nesta região os

<sup>3</sup>Este valor elevado para  $\mu$  garante, em termos práticos, que o terminal consegue sempre “ouvir” pelo menos uma base (a mais próxima).

sinais recebidos simultaneamente de 3 bases têm potência acima de  $\omega_T$  para  $\eta\%$  da área total (de triangulação). Com esta caracterização, é razoável admitir que  $\Phi$  seja determinada pela intersecção de três círculos com centros nas bases, cujos raios podem ser calculados observando inicialmente que

$$\eta \leq \min\{\mu_1, \mu_2, \mu_3\} \quad (6-36)$$

onde  $\mu_i$  é dado por (6-35) considerando o sinal recebido da  $i$ -ésima base. Para a definição de  $\Phi$  considera-se  $\eta = 70\%$  e admite-se que  $\eta = \mu_i, (\forall i)$ . Com base na Figura 6.8, que mostra o gráfico de  $\mu$  em função de  $r/R$ , observa-se que a região circular em torno de cada base que apresenta  $\mu = 70\%$  tem raio igual a  $3R$ . Considerando que a distância entre as bases é igual a  $2R$ , a Figura 6.9 mostra a área de triangulação resultante.

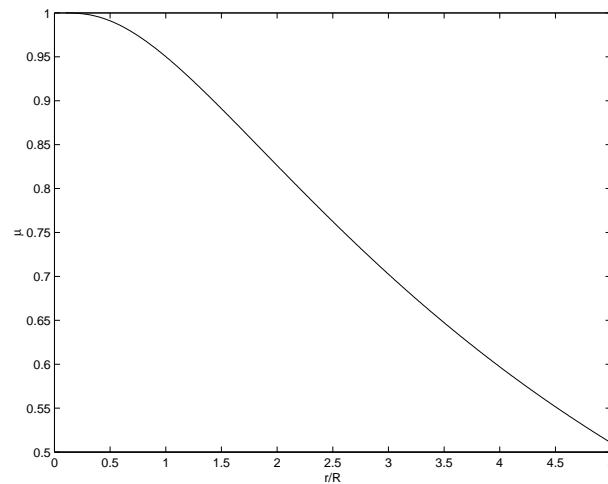


Figura 6.8: Gráfico de  $\mu$  em função de  $r/R$ , para  $\alpha = 3$ ,  $\bar{\omega}_R - \omega_T = 15$  dB e  $\sigma_\omega = 12$  dB.

### 6.3.2 Resultados

A seguir apresenta-se os resultados obtidos para a área da região de ambigüidade comparada à região de triangulação. Especificamente, calcula-se a razão ( $\Lambda$ ) entre a área de ambigüidade restrita à área de triangulação e a área total de triangulação. Na Figura 6.9, em particular, a razão  $\Lambda$  é dada pela soma das áreas de  $\psi_1$ ,  $\psi_2$  e  $\psi_3$  dividida pela área de  $\Phi$ .

Considera-se que as bases BS1 e BS2 estão posicionadas nos pontos de coordenadas  $(-a/2, 0)$  e  $(a/2, 0)$ , e BS3 está em um ponto do 2º quadrante  $\{(X, Y) : X \leq 0, Y > 0\}$ , como mostra a Figura 6.10. É possível verificar

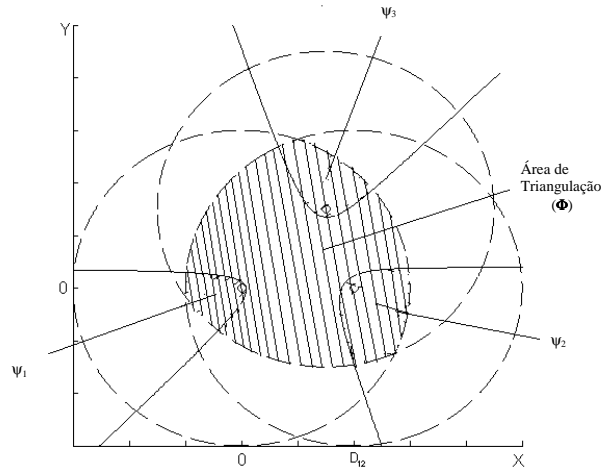


Figura 6.9: Região de triangulação (área hachurada) e regiões de ambigüidade.

que o problema é simétrico em relação aos eixos  $X$  e  $Y$ , portanto mostra-se desnecessário obter resultados para BS3 localizada nos demais quadrantes.

A configuração inicialmente considerada para avaliação é o arranjo hexagonal de células mostrado na Figura 6.11. Admitindo-se que a área de triangulação é formada pela intersecção dos círculos com centros nas bases e raios  $3a/2$ , conclui-se que os pontos  $\mathbf{M} (0, \sqrt{3}a/2)$  e  $\mathbf{N} (-a, \sqrt{3}a/2)$  representam as únicas posições para BS3 em que a triangulação com BS1, BS2 e BS3 é possível<sup>4</sup>.

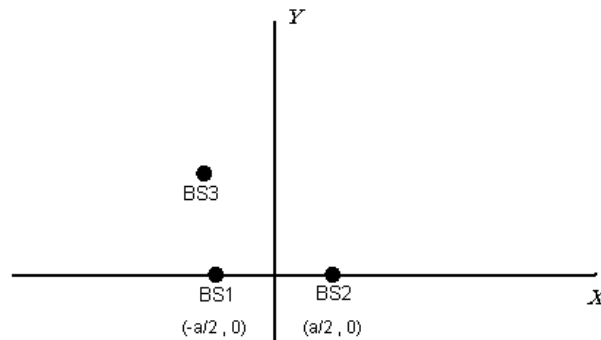


Figura 6.10: Posição das bases para o cálculo da área de ambigüidade comparada à área de triangulação. A terceira base encontra-se no 2º quadrante.

Quando BS3 está em  $\mathbf{M}$ , a razão  $\Lambda$  calculada é aproximadamente igual a 0,3. Ou seja, 30 % da área útil para triangulação hiperbólica está sujeita a soluções ambíguas. Por outro lado, admitindo-se que a terceira base localiza-

<sup>4</sup>Quando BS3 está em  $\mathbf{P}$  há intersecção entre os 3 círculos, porém não é possível realizar o cálculo de posição a partir de TDOA's [78].

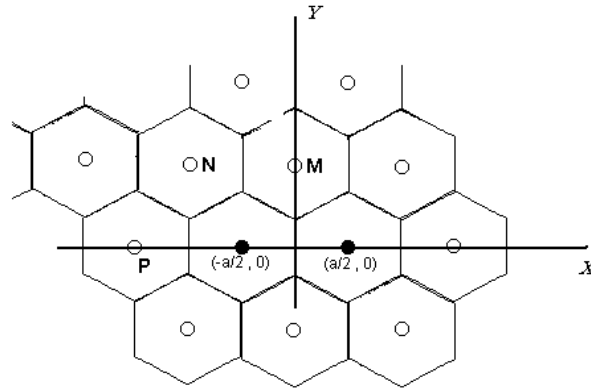


Figura 6.11: Arranjo hexagonal de células para o cálculo de  $\Lambda$ .

se em **N**, a razão  $\Lambda$  aumenta para 0,4 , representando uma situação pior do que a anterior.

Considerando agora o caso em que as posições da terceira base não estão restritas ao arranjo hexagonal, a Tabela 6.1 apresenta os resultados obtidos para várias posições de BS3 no 2º quadrante.

Tabela 6.1: Razão  $\Lambda$  em função da posição da terceira base.

	$X$						
	$-3a/2$	$-5a/4$	$-a$	$-3a/4$	$-a/2$	$-a/4$	$0$
$a$	0.59	0.48	0.37	0.27	0.22	0.25	0.26
$6a/7$	0.66	0.53	0.40	0.30	0.26	0.29	0.31
$5a/7$	0.76	0.58	0.43	0.32	0.28	0.33	0.33
$4a/7$	0.84	0.66	0.48	0.36	0.31	0.34	0.35
$3a/7$	0.90	0.77	0.54	0.39	0.33	0.36	0.37
$2a/7$	1.00	0.94	0.66	0.46	0.32	0.38	0.43
$2a/7$	1.00	1.00	0.83	0.59	0.31	0.46	0.49

Os resultados mostram que quando BS3 encontra-se praticamente alinhada com as outras bases, é altamente provável obter-se uma solução ambígua. Na realidade, pode ser observado que há posições extremas em que o cálculo da posição é sempre ambíguo, independentemente da posição do terminal. Por outro lado, quando BS3 está localizado na reta  $X = -a/2$ , a razão  $\Lambda$  assume valores mínimos. Ou seja, quando as posições das bases formam um triângulo retângulo minimiza-se a probabilidade de se obter soluções ambíguas. Todavia, mesmo nesta condição, o valor de  $\Lambda$  ( $> 20\%$ ) não é desprezível.

## 6.4

### Resumo do capítulo

Neste capítulo foram determinadas as condições em que o método de localização hiperbólico fornece soluções ambíguas. Dadas as posições de três bases envolvidas na estimação da posição do terminal, consegue-se identificar as regiões no plano  $XY$  onde a triangulação hiperbólica não produz uma única solução. Observou-se que a posição relativa entre as bases tem grande influência no tamanho da região de ambigüidade. Mesmo considerando um arranjo geométrico favorável entre as bases, os resultados mostram que a área de ambigüidade representa uma fração significativa da região possível para triangulação.